

MAC05921 – Deep Learning – Relatório Tarefa 3

Giovani Tavares
giovani.tavares@usp.br (10788620)

Universidade de São Paulo — November 15, 2025

1 Introdução

Este relatório contem a descrição do experimento realizado na **Tarefa 3**. Nessa tarefa buscou-se realizar um **estudo de ablação** na rede **U-Net** para a tarefa de segmentação de imagens.

2 Objetivos

O objetivo do trabalho foi investigar os impactos do número de camadas de codificação e decodificação e das *skip connections* entre essas camadas na performance da rede no conjunto de dados **DRIVE: Digital Retinal Images for Vessel Extraction** a fim de responder à seguinte pergunta:

Pergunta de pesquisa: há algum *trade-off* entre as *skip connections* e o número de camadas de codificação/decodificação de **U-Nets**?

3 Metodologia

A fim de se responder à pergunta proposta, U-Nets de diferentes profundidades e com diferentes configurações de *skip connections* foram treinadas. Utilizou-se a biblioteca *PyTorch* para definir e treinar as redes.

O código foi base para definir a U-Net de segmentação foi o disponibilizado por Nicholas DiSalvo em [1]. Uma vez que [1] implementa a U-Net para construir um *Denoising Diffusion Probabilistic Model*, o código foi alterado pelo autor deste relatório para que a rede realizasse a tarefa de segmentação de imagens.

A U-Net implementada foi a mesma apresentada em [4], o artigo que introduziu essa arquitetura. Para isso, a imagem da arquitetura apresentada no artigo apoiou a definição das dimensões dos canais em cada camada da rede.

Já a função de perda utilizada durante o treinamento de todas as redes foi a *DiceBCELoss*, uma função que combina a *Dice* com a *Binary Cross-Entropy*. Ela foi implementada com base no artigo [3].

3.1 Arquitetura U-Net

A arquitetura **U-Net** é composta por três componentes principais: o *encoder*, o gargalo (bottleneck) e o *decoder*. Esses três blocos estão conectados sequencialmente.

Além disso, as **U-Nets** também possuem o que são chamadas de *skip connections*. Elas conectam as entradas das funções de *Max Pooling* do *encoder* com as entradas do *decoder*, criando um fluxo direto de informação entre partes não sequenciais da rede.

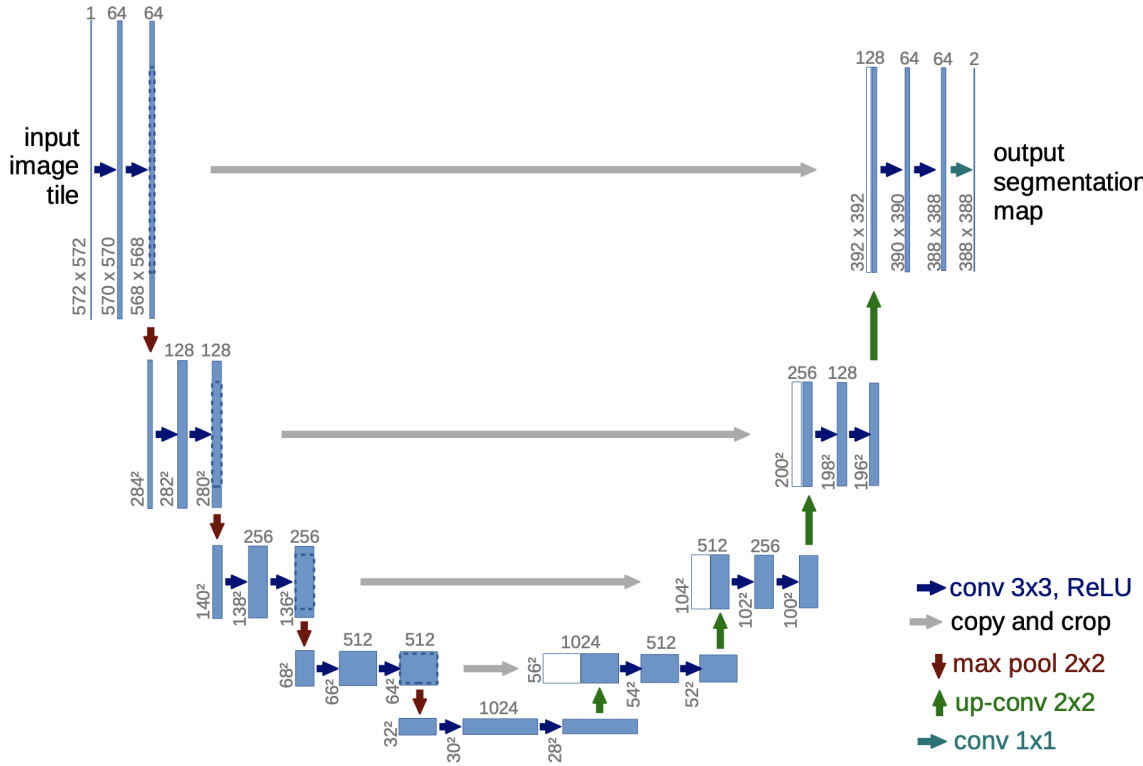


Figure 1: Imagem extraída do artigo original: "U-Net: Convolutional Networks for Biomedical Image Segmentation" [4]

Na figura 1, as setas cinzas denominadas *copy and crop* são as chamadas *skip connections*. Neste trabalho, cada sequência de convoluções 3x3 e *max pool 2x2* é denominada de **bloco de codificação** (*encoder block*).

Cada sequência de convoluções 3x3 e convolução transposta (*up-conv 2x2*) é denominada de **bloco de decodificação** (*decoder block*).

Bloco de Codificação

O Bloco de Codificação da U-Net é responsável pela subamostragem da entrada (*downsampling*). Ele reduz a resolução da entrada (altura e largura) usando *max pooling* e aumenta seus canais utilizando convolução.

$$\text{Conv1}(x_0) = x_1 \rightarrow \text{ReLU}(x_1) = x_2 \rightarrow \text{Conv2}(x_2) = x_3 \rightarrow \text{ReLU}(x_3) = x_4 \rightarrow \text{MaxPool}(x_4) = x_5$$

Gargalo (Bottleneck)

O gargalo da U-Net é responsável pela representação compacta da entrada. Ele mantém a resolução da entrada e aumenta seus canais utilizando convolução.

$$\text{Conv1}(x_0) = x_1 \rightarrow \text{ReLU}(x_1) = x_2 \rightarrow \text{Conv2}(x_2) = x_3 \rightarrow \text{ReLU}(x_3) = x_4$$

Bloco de Decodificação

O Bloco de Decodificação da U-Net é responsável pela superamostragem da entrada (*upsampling*). Ele aumenta as dimensões da entrada (altura e largura) usando convolução transposta, ao mesmo tempo que reduz seus canais utilizando convolução.

$$TransposeConv1(x_0) = x_1 \rightarrow Conv1(x_1) = x_2 \rightarrow ReLU(x_2) = x_3 \rightarrow Conv2(x_3) = x_4 \rightarrow ReLU(x_4) = x_5$$

3.2 Estudo de Ablação sobre Skip Connections e Profundidade da Rede

A sequência de codificação, compactação e decodificação da arquitetura U-Net pode ser definida como abaixo de acordo com as definições apresentadas na última seção.

$$x_0 \rightarrow Encoder(x_0) = x_1 + skip_1 \rightarrow Encoder(x_1) = x_2 + skip_2 \rightarrow \dots Encoder(x_{n-1}) = x_n + skip_n \quad (1)$$

$$\rightarrow BottleNeck(x_n) = y_0 \quad (2)$$

$$\rightarrow Decoder(y_0 + skip_n s_n) = y_1 \rightarrow Decoder(y_1 + skip_{n-1} s_{n-1}) = y_2 \rightarrow \dots \rightarrow Decoder(y_{n-1} + skip_1 s_1) = y_n \quad (3)$$

Ou seja, a U-Net é uma sequência de n blocos de codificação, seguida de um único bloco de gargalo seguido por uma sequência de n blocos de decodificação.

Para investigar sistematicamente o impacto das *skip connections* e da profundidade da U-Net na performance de segmentação, realizamos um estudo de ablação abrangente utilizando a arquitetura U-Net proposta. Seja n o número de camadas de codificação/decodificação na rede, e seja s_i uma função indicadora binária definida para cada bloco do codificador i :

$$s_i = \begin{cases} 1 & \text{se a skip connection do bloco de codificação } i \text{ for utilizada} \\ 0 & \text{caso contrário} \end{cases}$$

Para cada profundidade $n \in \{1, 2, 3, 4\}$, todas as possíveis configurações de conexões skip foram avaliadas, resultando em 2^n variantes distintas da rede. Cada variante corresponde a uma combinação única de conexões skip ativas e inativas, permitindo isolar a contribuição de cada caminho skip para a performance geral de segmentação.

Durante o treinamento, todas as variantes da rede foram otimizadas utilizando o mesmo conjunto de dados e hiperparâmetros, e métricas de avaliação, como coeficiente Dice e acurácia no conjunto de testes, foram registradas após cada época. O melhor modelo para cada configuração foi salvo, e os resultados foram agregados para analisar a influência tanto da profundidade n quanto do padrão de conexões skip $s = (s_1, s_2, \dots, s_n)$ na qualidade da segmentação.

Esta metodologia permite uma avaliação detalhada dos componentes arquiteturais, fornecendo *insights* sobre a importância relativa das *skip connections* em diferentes camadas e os *trade-offs* associados à profundidade da rede.

Todas as redes foram treinadas em dois conjuntos de dados: *DRIVE Digital Retinal Images for Vessel Extraction*[2] e *Skin Lesion Analysis Towards Melanoma Detection*[5].

4 Resultados

Nos resultados apresentados a seguir, a coluna *Skip Config* indica, de forma binária, quais *skip connections* foram utilizadas em cada bloco do codificador.

Cada caractere da *string* corresponde a um bloco, da camada mais próxima da entrada até a camada mais profunda, seguindo a definição:

$$s_i = \begin{cases} 1 & \text{se a skip connection do bloco } i \text{ foi utilizada} \\ 0 & \text{se a skip connection do bloco } i \text{ foi omitida} \end{cases}$$

Por exemplo, um resultado obtido para uma U-Net de profundidade $n = 4$ (quatro blocos no codificador e decodificador), com apenas a primeira e peúltima *skip connection* ativas encontrase com *skip config* de 1010.

- $s_1 = 1 \rightarrow$ *skip connection* do primeiro bloco utilizada
- $s_2 = 0 \rightarrow$ *skip connection* do segundo bloco omitida

- $s_3 = 1 \rightarrow$ skip connection do terceiro bloco utilizada
- $s_4 = 0 \rightarrow$ skip connection do quarto bloco omitida

A melhor configuração de cada profundidade é destacada com fundo cinza.

4.1 DRIVE Digital Retinal Images for Vessel Extraction

Depth (n)	Skip Config ($s_1 \dots s_n$)	Loss	Dice	Acc. on Test Set	Train Time (s)
1	0	0.0172	0.9920	0.9922	14.5
1	1	0.0153	0.9920	0.9919	12.3
2	00	0.0263	0.9876	0.9865	14.1
2	01	0.0173	0.9901	0.9894	15.8
2	10	0.0223	0.9883	0.9867	15.1
2	11	0.0148	0.9922	0.9919	15.7
3	000	0.0234	0.9896	0.9897	17.6
3	001	0.0109	0.9944	0.9947	18.2
3	010	0.0171	0.9917	0.9912	17.9
3	011	0.0136	0.9939	0.9949	18.8
3	100	0.0244	0.9870	0.9852	18.1
3	101	0.0123	0.9942	0.9949	18.7
3	110	0.0173	0.9912	0.9903	18.7
3	111	0.0136	0.9929	0.9933	19.2
4	0000	0.0383	0.9849	0.9872	24.1
4	0001	0.0128	0.9931	0.9933	24.8
4	0010	0.0163	0.9915	0.9905	25.1
4	0011	0.0163	0.9918	0.9916	24.4
4	0100	0.0290	0.9821	0.9769	24.4
4	0101	0.0119	0.9938	0.9943	25.4
4	0110	0.0162	0.9920	0.9919	25.1
4	0111	0.0126	0.9933	0.9932	28.0
4	1000	0.0200	0.9919	0.9926	26.6
4	1001	0.0124	0.9947*	0.9953	25.6
4	1010	0.0154	0.9905	0.9887	24.2
4	1011	0.0136	0.9928	0.9928	25.0
4	1100	0.0274	0.9849	0.9823	24.0
4	1101	0.0110	0.9938	0.9939	25.8
4	1110	0.0172	0.9912	0.9902	25.2
4 (U-Net Original)	4	0.0156	0.9919	0.9919	26.0

Table 1: Resultados do estudo de ablação: métricas na última época para cada combinação de profundidade e skip connections para o DRIVE Digital Retinal Images for Vessel Extraction [2].

O melhor resultado de acurácia no conjunto de testes foi obtido na U-Net de profundidade $n = 4$ (quatro blocos no codificador e decodificador), com apenas a primeira e última skip connection ativas (1001).

- $s_1 = 1 \rightarrow$ skip connection do primeiro bloco utilizada
- $s_2 = 0 \rightarrow$ skip connection do segundo bloco omitida
- $s_3 = 0 \rightarrow$ skip connection do terceiro bloco omitida
- $s_4 = 1 \rightarrow$ skip connection do quarto bloco utilizada

Observa-se que no caso do conjunto de dados [2], o uso de skip connections em todas as camadas de decodificação não resulta na melhor acurácia para nenhuma profundidade além da $n = 2$.

Curiosamente, a U-Net mais profunda ($n = 4$) mas sem nenhuma skip connection (0000) obteve o pior resultado, indicando a importância dessas conexões mesmo em redes mais profundas. Por outro lado, a

rede mais profunda com todas as *skip connections* (1111) obteve resultado pior do que a rede mais rasa ($n = 1$) sem nenhuma *skip connection*, indicando que existe um *trade-off* entre a profundidade da rede e a quantidade de *skip connections*.

4.2 Skin Lesion Analysis Towards Melanoma Detection

Depth (n)	Skip Config ($s_1 \dots s_n$)	Loss	Dice	Acc. on Test Set	Train Time (s)
1	0	0.3007	0.5727	0.8051	1012.9
1	1	0.3086	0.5770	0.8081	1045.9
2	00	0.2316	0.6392	0.8640	1124.9
2	01	0.2289	0.6361	0.8518	1155.5
2	10	0.2295	0.6280	0.8712	1146.6
2	11	0.2228	0.6145	0.8660	1174.8
3	000	0.2014	0.6607	0.8942	1237.1
3	001	0.2261	0.6454	0.8670	1235.4
3	010	0.1853	0.6619	0.9111	1220.8
3	011	0.1923	0.6431	0.9065	1221.8
3	100	0.1948	0.6638	0.9034	1206.7
3	101	0.1988	0.6571	0.8841	1276.8
3	110	0.1816	0.6578	0.9189	1253.9
3	111	0.2068	0.6616	0.8836	1286.6
4	0000	0.1634	0.6838	0.9251	1399.0
4	0001	0.3304	0.5291	0.8061	1444.2
4	0010	0.1598	0.6588	0.9220	1393.3
4	0011	0.1842	0.6805	0.9008	1421.3
4	0100	0.1687	0.6650	0.9214	1396.8
4	0101	0.3395	0.5378	0.8296	1002.1
4 (U-Net Original)	1111	0.3321	0.5263	0.8078	1441.8

Table 2: Resultados do estudo de ablação: métricas na última época para cada combinação de profundidade *eskip connections* para o *Skin Lesion Analysis Towards Melanoma Detection*[5].

O melhor resultado de acurácia no conjunto de testes foi obtido na U-Net de profundidade $n = 4$ (quatro blocos no codificador e decodificador), com nenhuma *skip connection* ativas (0000).

- $s_1 = 0 \rightarrow$ skip connection do primeiro bloco omitida
- $s_2 = 0 \rightarrow$ skip connection do segundo bloco omitida
- $s_3 = 0 \rightarrow$ skip connection do terceiro bloco omitida
- $s_4 = 0 \rightarrow$ skip connection do quarto bloco omitida

Esse resultado demonstra uma rede profunda sem nenhuma *skip connection* superando todas as outras com ou sem tais conexões em todas configurações, inclusive a rede U-Net original.

5 Conclusão

Os resultados para ambos conjuntos de dados estudados demonstram que sim, há um *trade-off* entre as *skip connections* e o número de camadas de codificação/decodificação nas U-Nets. Em ambos os casos, o aumento da profundidade e *skip connections* não resultou em melhores resultados no conjunto de testes de maneira linear, demonstrando que o *trade-off* entre esses componentes é complexo.

Nos dois conjuntos de dados a profundidade $n = 4$ foi a que trouxe melhor acurácia no conjunto de testes, demonstrando como a profundidade é diretamente relacionada com a qualidade da rede.

References

- [1] Nicholas DiSalvo. Diffusion model from scratch in pytorch, 2024. Medium, acessado em 19 out. 2025.
- [2] LARXEL. Drive digital retinal images for vessel extraction, 2019. Kaggle, acessado em 19 out. 2025.
- [3] Vishal Rajput. Robustness of different loss functions and their impact on networks learning capability. *CoRR*, abs/2110.08322, 2021.
- [4] Olaf Ronneberger, Philipp Fischer, and Thomas Brox. U-net: Convolutional networks for biomedical image segmentation. *CoRR*, abs/1505.04597, 2015.
- [5] ZENITSU157. Skin lesion analysis towards melanoma detection, 2023. Kaggle, acessado em 19 out. 2025.